



Effect of cyclodextrins and co-pigmentation on the thermal stability of the anthocyanin extract of Saffron petal in the model drink

Hamed Saberian*¹ , Vahid Pasban²

Received: 2021.09.06

Revised: 2022.02.12

Accepted: 2022.04.11

Available Online: 2022.04.11

How to cite this article:

Saberian, H., Pasban, V. (2022). Effect of cyclodextrins and co-pigmentation on the thermal stability of the anthocyanin extract of Saffron petal in the model drink. *Iranian Food Science and Technology Research Journal*. 18 (5), 756-777.

Abstract

Introduction: Anthocyanins are one of the most important of food colorants, which are found in many fruits, flowers, and vegetables, and have been used as natural pigments in commercial foods and beverage products due to their desirable colors and potential nutritional benefits. Saffron (*Crocus sativus*) is the most expensive spice of the world and an average 86.4% of wet weight or 96.4% of dry weight of saffron flowers is related to petals. Saffron petals usually do not have a commercial value but contain large amounts of anthocyanins, flavonoids and glycosides. Thus, these petals can be a good source of natural dyes applicable in pharmaceuticals, confectionery, and soft drinks. However, anthocyanins are readily unstable compounds with exposure to oxygen, pH, temperature, enzyme, light, as well as surrounding components, which reduces food color and quality. Losses of anthocyanins occur during juice processing and storage, and methods are needed to prevent these losses. Up to now, various methods including the encapsulation and the co-pigmentation have been tried to intensify the stability of anthocyanins. The co-pigmentation based on the molecular interactions, has been shown to be an efficient way to stabilize anthocyanins. The addition of organic acids, flavonoids, alkaloids, polysaccharides, proteins, etc. as a co-pigment, can improve the stability, and change the bioactivity of anthocyanins. Encapsulation of anthocyanins by alpha and beta cyclodextrins is a potential treatment that could d anthocyanin losses. Anthocyanins can form inclusion complexes with cyclodextrin molecules, which may protect anthocyanins from hydration and polymerization reactions. Therefore, saffron petal is a potential resource of anthocyanin in Iran. Low thermal stability of the anthocyanins caused a tendency to the synthetic colorants. Therefore, the main goal of this research was to investigate the effect of cyclodextrins and co-pigmentation on the anthocyanin extract of saffron petal during heat treatment.

Materials and Methods: Anthocyanin extract of saffron petal was extracted by 50% acidic ethanol solution at ambient temperature. Acidified extract was concentrated by a rotary evaporator at 40°C up to 9 percent concentration of solid materials. Different concentrations of alpha and beta cyclodextrin (10, 25, 50, 75 and 100 mole alpha or beta cyclodextrin to one mole anthocyanin) and also, different co-pigments such as gallic acid (at two molar ratio of 50:1 and 100:1 of galic acid/anthocyanin), ferulic acid (at two molar ratio of 50:1 and 100:1 of ferulic acid/anthocyanin), quercetin (at two molar ratio of 2.5:1 and 5:1 of quercetin/anthocyanin) and rutin (at two molar ratio of 10:1 and 25:1 of rutin/anthocyanin) were used to study the thermal stability of anthocyanin. Furthermore, the hydroalcoholic extract of rosehip was prepared and concentrated thereby, the rosehip extract (at two molar ratio of 50:1 and 100:1 gallic acid equivalent/anthocyanin) was used as a co-pigment. Total anthocyanin content was measured using differential pH method and reported based on mg of cyanidin 3-glucoside per 100 ml the model drink. a^* value was measured by Hunter Lab. Model drink (20 mM acid citric buffer in pH of 3) containing 0.01 % CaCl_2 and anthocyanin extract was prepared.

1. Assistant Professor of Food Additives Department, Food Science and Technology Research Institute, ACECR, Khorasan Razavi, Iran.
2. MSc. Student, Department of Food Science and Technology, ACECR Kashmar Higher Education Institute, Kashmar, Iran.

(*Corresponding Author Email: Saberian@acecr.ac.ir)

DOI: 10.22067/IFSTRJ.2022.72368.1095

Prepared model drinks were heated at 90 °C during 0, 15, 30, 45, 60, 90 and 120 min and then, were cooled up to room temperature. Half time of anthocyanin was calculated and the mentioned treatments were investigated to evaluate the stability of the different compounds.

Results and Discussion: The results indicated that alpha cyclodextrin at molar ratio of 50:1 (alpha cyclodextrin to anthocyanin) hadn't any significant effect on the anthocyanin stability but beta cyclodextrin at molar ratio of 50:1 increased the colorant stability, which can be due to the smaller cavity of alpha cyclodextrin rather than beta cyclodextrin that lead to the lower interaction between alpha cyclodextrin and anthocyanin. Although, phenolic co-pigments hadn't any significant effect on the anthocyanin stability of the model drink but the rosehip extract at two molar ratios of 50:1 and 100: 1 increased the anthocyanin retention. Total phenolic content of rosehip extract was 14.56 g gallic acid equivalent per liter of the extract and total flavonoid content was 365 mg quercetin equivalent per liter of the extract. According to the studies and our results about total phenol and flavonoid content, the increased retention of the anthocyanin can be related to the variety of the phenolic and flavonoid compounds of the rosehip extract. Therefore, beta cyclodextrin as a trapping agent and rosehip extract as a co-pigment, can increase the anthocyanin stability of the saffron petal during heat treatment.

Keywords: Thermal stabilization, Anthocyanin, saffron petal, β -cyclodextrin, Rosehip extract.

مقاله علمی-پژوهشی

تأثیر سیکلودکسترین‌ها و کوپیگمانتاسیون بر پایداری حرارتی عصاره آنتوسیانینی گلبرگ زعفران در نوشیدنی مدل

حامد صابریان^{۱*} - وحید پاسبان نوقایی^۲

تاریخ دریافت: ۱۴۰۰/۰۶/۱۵

تاریخ بازنگری: ۱۴۰۰/۱۱/۲۳

تاریخ پذیرش: ۱۴۰۱/۰۱/۲۲

چکیده

آنتوسیانین‌ها یکی از مهمترین رنگدانه‌های غذایی هستند که کاربرد گسترده‌ای در محصولات غذایی دارند. یکی از منابع مستعد آنتوسیانین در ایران، گلبرگ زعفران می‌باشد. پایداری حرارتی نسبتاً پایین آنتوسیانین‌ها موجب استفاده بیشتر از رنگ‌های سنتزی شده است. هدف این پژوهش، بررسی تأثیر سیکلودکسترین‌ها و کوپیگمانتاسیون بر پایداری عصاره آنتوسیانینی استخراجی از گلبرگ زعفران در برابر تیمار حرارتی بود. از غلظت‌های مختلف آلفا و بتاسیکلودکسترین (۱۰، ۲۵، ۵۰، ۷۵ و ۱۰۰ مول آلفا/ بتاسیکلودکسترین به ازای ۱ مول آنتوسیانین) و همچنین از کوپیگمان‌های مختلفی از قبیل گالیک اسید (در دو نسبت مولی ۵۰ به ۱ و ۱۰۰ به ۱ نسبت به آنتوسیانین)، فرولیک اسید (در دو نسبت مولی ۵۰ به ۱ و ۱۰۰ به ۱ نسبت به آنتوسیانین)، کوئرستین (در دو نسبت مولی ۲/۵ به ۱ و ۵ به ۱ نسبت به آنتوسیانین) و روتین (در دو نسبت مولی ۱۰ به ۱ و ۲۵ به ۱ نسبت به آنتوسیانین) و عصاره نسترن کوهی (در دو نسبت مولی ۵۰ به ۱ و ۱۰۰ به ۱ معادل گالیک اسید به آنتوسیانین) برای بررسی پایداری حرارتی آنتوسیانین‌ها استفاده شد. نتایج حاکی از آن بود که آلفاسیکلودکسترین تأثیر معنی‌داری در سطح اطمینان ۹۵ درصد ($P < 0/05$) بر پایداری آنتوسیانین نداشت اما بتاسیکلودکسترین در نسبت مولی ۵۰ به ۱ (بتاسیکلودکسترین به آنتوسیانین) موجب افزایش پایداری رنگدانه شد. اگرچه ترکیبات فنولی تأثیری در پایداری حرارتی آنتوسیانین‌ها نداشتند اما عصاره نسترن کوهی در هر دو نسبت مولی ۵۰ و ۱۰۰ به ۱ موجب افزایش معنی‌دار بقاء آنتوسیانین‌ها شد. بنابراین، بتاسیکلودکسترین به‌عنوان یک ترکیب پوشاننده و عصاره نسترن کوهی به‌عنوان یک ترکیب کوپیگمان می‌تواند موجب افزایش پایداری آنتوسیانین گلبرگ زعفران طی تیمار حرارتی شوند.

واژه‌های کلیدی: پایداری حرارتی، آنتوسیانین، گلبرگ زعفران، بتاسیکلودکسترین، عصاره نسترن کوهی.

مقدمه

آنتوسیانین‌ها به‌عنوان رنگدانه‌های غذایی در گستره وسیعی از محصولات از قبیل محصولات لبنی، نوشیدنی‌های با pH پایین، ژله‌ها و پاستیل‌ها و همچنین محصولات پختی (مانند کیک) کاربرد دارند (Chung et al., 2016).

زعفران (*Crocus sativus L.*) از جمله منابع گیاهی با ارزش بومی است که عمدتاً در مناطق گرم و خشک کشت می‌شود. بعد از جداسازی کلاله از گل زعفران، محصولات جانبی زعفران شامل کاسبرگ، گلبرگ، خامه و پرچم زعفران باقی می‌ماند. این مواد اگرچه حاوی مقادیر قابل ملاحظه‌ای ترکیبات با ارزش می‌باشند اما در حال حاضر به‌عنوان ضایعات بخش کشاورزی، بدون استفاده بوده و تنها به مصرف

رنگدانه‌های طبیعی، جایگزین بسیار مناسبی برای رنگ‌های سنتزی هستند و کاربرد آن‌ها در غذاها و نوشیدنی‌ها افزایش یافته است. افزایش کاربرد رنگدانه‌های سنتزی به دلیل رشد آگاهی‌های جامعه از اثرات جانبی ترکیبات شیمیایی و خطرات زیست‌محیطی آن‌ها می‌باشد (Carocho et al., 2014). آنتوسیانین‌ها، رنگدانه‌های غذایی طبیعی محلول در آب هستند که در طیف گسترده‌ای از میوه‌ها، سبزیجات و گل‌های مختلفی وجود دارند و مسئول ایجاد رنگ‌های قرمز، ارغوانی و آبی در آن‌ها می‌باشد (Ge et al., 2018).

* - نویسنده مسئول: Email: Saberian@acecr.ac.ir
DOI: 10.22067/IFSTRJ.2022.72368.1095

۱- استادیار، گروه پژوهشی افزودنی‌های غذایی، پژوهشکده علوم و فناوری مواد غذایی، سازمان جهاد دانشگاهی خراسان رضوی.
۲- دانشجوی کارشناسی ارشد، گروه علوم و صنایع غذایی، موسسه آموزش عالی جهاد دانشگاهی کاشمر، کاشمر، ایران.

گروه‌های هیدروکسیل و متوکسیل، سطح گلیکوزیده شدن) و محیط حلال وابسته است (Asen et al., 1972). تجمع آسیدی حلقه پیران، حساسیت آنتوسیانین به حمله نوکلئوفیلی آب را کاهش می‌دهد و در نتیجه از تشکیل چالکون و بی‌رنگ شدن آنتوسیانین جلوگیری می‌کند. بنابراین، آنتوسیانین‌های آسیده شده مقاوم‌تر می‌باشند. پدیده کوپیگمانتاسیون غالباً موجب تغییر طول موج جذب به سمت طیف قرمز^۲ همراه با افزایش جذب و همچنین ایجاد رنگ پایدارتر طی زمان می‌شود (Mazza and Miniati, 1993).

تحقیقات مختلفی با هدف کاهش تخریب رنگ عصاره‌های آنتوسیانینی از گیاهان و میوه‌های مختلف با استفاده از گالیک اسید (Fan et al., 2019; Mollov et al., 2007; Zhao et al., 2020)، کوئرستین (Fan et al., 2019; Weber et al., 2017; Kanha et al., 2019)، روتین (Fan et al., 2019)، عصاره چای (Chung et al., 2016)، عصاره گل رز (Mollov et al., 2007) و عصاره پوست انار (Ertan et al., 2018) به‌عنوان کوپیگمان صورت گرفته است. با این حال، تاکنون گزارشی در مورد تاثیر این کوپیگمان‌ها و همچنین سیکلودکسترین‌ها بر پایداری آنتوسیانین گلبرگ زعفران گزارش نشده است.

باتوجه به کاربرد گسترده رنگدانه‌های طبیعی جهت بهبود ظاهر غذا و نوشیدنی از یک طرف و وجود معایب آن‌ها از قبیل پایداری نسبتاً پایین در مقایسه با رنگ‌های سنتزی از طرف دیگر، پایداری آن‌ها ضرورت دارد. بنابراین، هدف از این پژوهش، بررسی تاثیر آلفا و بتاسیکلودکسترین و همچنین مهمترین کوپیگمان‌ها جهت پایداری حرارتی آنتوسیانین استخراجی از گلبرگ زعفران بود. علاوه بر این، باتوجه به غنی بودن عصاره نسترن کوهی از ترکیبات فنولی (Saberian, 2018)، این عصاره نیز به‌عنوان یک ترکیب کوپیگمان مورد استفاده قرار گرفت.

مواد و روش‌ها

مواد شیمیایی

گلبرگ خشک زعفران از مزارع زعفران مشهد تهیه شد. اتانول با درجه آزمایشگاهی از شرکت دکتر مجلی (صنایع شیمیایی دکتر مجلی، ایران) خریداری شد. سیتریک اسید، فرولیک اسید، گالیک اسید، روتین، کوئرستین، سدیم سترات، آلفا و بتاسیکلودکسترین از شرکت تیتراکم خریداری شد. میوه نسترن کوهی از لرستان تهیه شد.

خوراک دام می‌رسند یا در محیط زیست رها می‌شوند (Einafshar, 2018). منابع عمده آنتوسیانین‌ها در جهان، پوست و تفاله انگور قرمز و هویج سیاه (یا ارغوانی) می‌باشد. با توجه به اینکه این منابع عمدتاً بومی کشور ما نمی‌باشند، قاعدتاً در اولویت قرار نمی‌گیرند. از طرفی، باتوجه به تولید سالیانه حدود ۳۰۰ هزار تن گلبرگ زعفران در کشور و هدر رفت آن در مزارع، این منبع از پتانسیل بسیار مناسبی، به‌عنوان منبع ارزان قیمت، وافر و در دسترس، برای تولید آنتوسیانین برخوردار می‌باشد.

اگرچه آنتوسیانین‌ها کاربردهای فراوانی در صنایع غذایی و دارویی دارند اما معایب آن‌ها از قبیل پایداری نسبتاً پایین در مقایسه با رنگ‌های سنتزی، ایجاد چالش کرده است (Cortez et al., 2014). عوامل فیزیوشیمیایی مختلفی از قبیل pH محصول، قرار گرفتن در معرض نور، دما و ایجاد کمپلکس با ترکیبات دیگر موجود در محصول، پایداری آنتوسیانین‌ها را تحت تاثیر قرار می‌دهد (Sui et al., 2014). روش‌های مختلفی جهت کاهش تخریب آنتوسیانین‌ها به‌عنوان مسأله اصلی این پژوهش ارائه شده است که مهمترین آن‌ها شامل ریزپوشانی و کوپیگمانتاسیون^۱ آنتوسیانین‌ها می‌باشد (Li et al., 2014; Khazaei et al., 2016; Chung et al., 2015; Fernandes et al., 2013; Howard et al., 2013).

ریزپوشانی آنتوسیانین‌ها با سیکلودکسترین‌ها فرآیند مطلوبی جهت کاهش تخریب آن‌ها می‌باشد. علاوه بر این، ریزپوشانی می‌تواند موجب بهبود زیست‌فراهمی آنتوسیانین‌ها در دستگاه گوارش گردد. آنتوسیانین‌ها قادر هستند با بتاسیکلودکسترین پیوند و تشکیل کمپلکس دهند تا از واکنش‌های هیدراتاسیون و پلی‌مریزاسیون در امان بمانند (Howard et al., 2013). با به دام انداختن آنتوسیانین‌ها در ماتریس پلی‌مری، آن‌ها کمتر در معرض اکسیژن قرار می‌گیرند و بنابراین پایداری و زمان انبارمانی بیشتری خواهند داشت (Weber et al., 2017).

واکنش آنتوسیانین‌ها با سایر ترکیبات از قبیل ترکیبات فنولی، به‌عنوان یک روش پایداری مورد توجه قرار گرفته است. این واکنش‌ها شامل واکنش بین آنتوسیانین‌ها (Self-association)، کوپیگمانتاسیون داخل مولکولی با گروه‌های آروماتیک و کوپیگمانتاسیون بین مولکولی با مواد غیررنگی مانند فلاونول یا فلاون‌ها می‌باشد (Cavalcanti et al., 2011). کوپیگمانتاسیون بر پایه واکنش مولکولی به‌عنوان روش موثری در این زمینه شناخته شده است به‌گونه‌ای که با افزودن اسیدهای آلی، فلاونوئیدها، آلکالوئیدها، پلی‌ساکاریدها، پروتئین‌ها و غیره می‌توان پایداری آنتوسیانین‌ها را بهبود بخشید. مکانیسم عمل عمدتاً به ساختار شیمیایی آنتوسیانین‌ها (تعداد

(در دو نسبت مولی ۵۰ به ۱ و ۱۰۰ به ۱ نسبت به آنتوسیانین)، کوئرستین (در دو نسبت مولی ۲/۵ به ۱ و ۵ به ۱ نسبت به آنتوسیانین) و روتین (در دو نسبت مولی ۱۰ به ۱ و ۲۵ به ۱ نسبت به آنتوسیانین) بود (Weber et al., 2017; Fan et al., 2019; Shikov et al., 2008). علت اینکه از غلظت‌های کمتری از کوئرستین و روتین استفاده شد، عدم حلالیت مقادیر بیشتر آن‌ها در نوشیدنی بود که خود این عامل منجر به ایجاد رنگ نامطلوبی نیز در نوشیدنی می‌شد.

عصاره‌گیری نستر کوهی و کوپیگماتاسیون عصاره آنتوسیانینی با استفاده از آن

عصاره‌گیری از میوه نستر کوهی مطابق روش Saberian (۲۰۲۰) انجام شد. بر این اساس، استخراج دو مرحله‌ای انجام شد تا هم بیشترین میزان کاروتنوئید کل و فلاونوئید کل استخراج شود (در شرایط بهینه شامل نسبت حلال به ماده جامد ۱۴/۹۴ میلی‌لیتر بر گرم، زمان ۶ ساعت و غلظت اتانول ۹۶٪) و هم بیشترین ترکیبات فنولی کل (در شرایط بهینه نسبت حلال به ماده جامد ۱۵ میلی‌لیتر بر گرم، زمان ۶ ساعت و غلظت اتانول ۳۵/۸٪ (حجمی/حجمی)). در نهایت، عصاره‌های حاصله ترکیب شد و در دمای ۴۵ درجه سانتی‌گراد و تحت شرایط خلأ تغلیظ شد و به روش خشک کردن انجمادی خشک شد (Saberian, 2020).

عصاره نستر کوهی در دو نسبت مولی ۵۰ به ۱ و ۱۰۰ به ۱ (معادل گالیک اسید به آنتوسیانین) نسبت به آنتوسیانین استفاده شد. قابل ذکر است که میوه نستر کوهی حاوی مقادیر بسیار زیادی از ترکیبات فنولی (حدود ۱۰٪ وزن ماده خشک) می‌باشد (Saberian, 2018). تاثیر کوپیگمان‌های مختلف بر پایداری حرارتی آنتوسیانین موجود در نوشیدنی مدل بررسی شد (Fan et al., 2019).

اندازه‌گیری غلظت آنتوسیانین

غلظت آنتوسیانین نمونه‌ها با استفاده از اسپکتروفتومتر UV-Vis معادله ۱ برآورد و نتایج مقایسه شد (Jafari et al., 2016).

$$(1) \quad \text{غلظت رنگدانه آنتوسیانین} = (A \times Mw \times DF) / \epsilon \times L$$

که در آن، $A = (A_{530} - A_{700})_{pH 1.0} - (A_{530} - A_{700})_{pH 4.5}$ = وزن مولکولی آنتوسیانین (۴۴۹/۲ g/mol) است، DF = فاکتور رقت، $\epsilon = 26/900 \text{ L/cm}^2\text{mol}$ ، $L =$ طول مسیر (۱ سانتی‌متر) است.

با توجه به اینکه آنتوسیانین‌های گلبرگ زعفران عمدتاً از نوع سیانیدین گلیکوزید می‌باشند، نتایج بر مبنای سیانیدین ۳-گلیکوزید بیان شدند.

استخراج عصاره آنتوسیانینی

به منظور استخراج آنتوسیانین موجود در گلبرگ زعفران، از روش بهینه شده توسط Bolourian (۲۰۲۰) استفاده شد. ابتدا گلبرگ زعفران خشک شده در دمای کمتر از ۴۰ درجه سانتی‌گراد توسط آسیاب آزمایشگاهی خرد شده و پودر با مش ۱۶ تهیه شد و پس از توزین، با حلال (اتانول ۵۰٪ اسیدی شده با pH برابر با ۲) به نسبت ۱:۲۵ (حجمی/وزنی) در دمای ۳۰ درجه سانتی‌گراد به مدت ۳۲ دقیقه به منظور استخراج قرار گرفت (Bolourian, 2020). در مرحله بعد، عصاره استخراج شده با استفاده از سانتریفوژ و کاغذ صافی واتمن صاف گردید. عصاره حاصل با استفاده از دستگاه اواپراتور تحت خلأ در دمای حدود ۴۰ درجه سانتی‌گراد تا رسیدن به بریکس حدود ۹ تغلیظ شد و تا زمان کاربرد، در دمای ۴ درجه سانتی‌گراد نگهداری شد. سپس این عصاره در روش‌های مختلف پایدارسازی به کار برده شد (Khazaei et al., 2014).

تولید نوشیدنی مدل

نوشیدنی مدل حاوی ۸٪ (وزنی/وزنی) عصاره آنتوسیانینی و ۰/۱٪ کلرید کلسیم در بافر اسید سیتریک ۲۰ میلی‌مولار با pH برابر با ۳ تهیه شد (Chung et al., 2015).

بهینه‌سازی استفاده از غلظت‌های مختلف سیکلودکسترین (آلفا و بتا)

نسبت‌های مختلف مولی آلفا و بتا سیکلودکسترین به آنتوسیانین (براساس سیانیدین گلوکوزاید) جهت بررسی تاثیر پایدارسازی آن‌ها بر آنتوسیانین‌ها بررسی شد. این نسبت‌ها شامل ۱۰، ۲۵، ۵۰، ۷۵ و ۱۰۰ مول آلفا/بتا سیکلودکسترین به ازای ۱ مول آنتوسیانین بود (Howard et al., 2013). ابتدا نوشیدنی مدل در pH برابر ۳ تهیه شد. pH پایین این اطمینان را ایجاد می‌کند که آنتوسیانین به صورت یون فلاویلیوم باشد و از تخریب محافظت شود. سپس نسبت‌های سیکلودکسترین فوق به نوشیدنی مدل افزوده شد و محلول به مدت ۱۰ دقیقه در دور ۱۲۰ دور بر دقیقه همزده شد. سپس به مدت ۲ ساعت به حال خود رها شد تا به تعادل برسد و آماده تیمار حرارتی شد (Fernandes et al., 2013).

کوپیگماتاسیون عصاره آنتوسیانینی با استفاده از ترکیبات مختلف

در این مرحله، کوپیگمان‌های مهمی که در پژوهش‌های سایر محققین به عنوان کوپیگمان در پایدارسازی آنتوسیانین‌ها موثر شناخته شده بودند، به کار گرفته شد. این کوپیگمان‌ها شامل گالیک اسید (در دو نسبت مولی ۵۰ به ۱ و ۱۰۰ به ۱ نسبت به آنتوسیانین)، فرولیک اسید

استخراج و اندازه‌گیری میزان فنول کل

میزان فنول کل نمونه‌ها با استفاده از معرف فولین سیوکالتیو مطابق روش **Ercisli** و همکاران (۲۰۰۷) انجام شد (**Ercisli, 2007**). برای این منظور، میزان ۱۰۰ میکرولیتر از عصاره نمونه‌های استخراج شده در ۱۰ میلی لیتر آب دیونیزه برای مدت یک ساعت حل شد. سپس ۰/۱ میلی لیتر از نمونه صاف شده به فالکون منتقل شد. ۲/۸ میلی لیتر آب دیونیزه به فالکون افزوده شد. پس از افزودن ۲ میلی لیتر کربنات سدیم ۲٪ به فالکون و گذشت زمان ۳ دقیقه، میزان ۰/۱ میلی لیتر از معرف فولین سیوکالتو ۵۰٪ نیز به آن افزوده شد و سپس به طور کامل همزدن صورت گرفت. سپس نمونه‌ها به مدت ۳۰ دقیقه در دمای اتاق قرار گرفتند. در نهایت جذب نمونه‌ها در طول موج ۷۵۰ نانومتر توسط اسپکتروفتومتر (**Biochrom, BC47358**، انگلستان) خوانده شد. گالیک اسید به عنوان استاندارد مورد استفاده قرار گرفت و غلظت‌های ۱۰۰۰ - میلی گرم بر لیتر (ppm) برای رسم منحنی استاندارد تهیه شد. نتایج به صورت میلی گرم معادل گالیک اسید بر گرم وزن خشک نمونه بیان شد.

تعیین میزان فلاونوئید کل

محتوی فلاونوئید کل مطابق روش **Chang** و همکاران (۲۰۰۲) با استفاده از معرف کلرید آلومینیوم اندازه‌گیری شد (**Chang et al., 2002**). ۰/۵ میلی لیتر از عصاره استخراجی با ۱/۵ میلی لیتر از اتانول ۹۵٪ مخلوط شد و سپس ۰/۱ میلی لیتر محلول اتانولی کلرید آلومینیوم ۱۰٪ وزنی/حجمی و ۰/۱ میلی لیتر از استات پتاسیم یک مولار و ۲/۸ میلی لیتر آب مقطر به آن اضافه شد. پس از همزدن کامل محلول، به مدت نیم ساعت در دمای اتاق نگهداری شد و جذب نمونه در طول موج ۴۱۵ نانومتر در مقابل نمونه شاهد با استفاده از دستگاه اسپکتروفتومتر (**Biochrom, BC47358**، انگلستان) خوانده شد. منحنی استاندارد کوئرستین (سیگما آلدریج) در غلظت ۲۵-۱۵۰ میکروگرم بر میلی لیتر (ppm) رسم شد. میزان فلاونوئید کل بر اساس میزان معادل "میلی گرم کوئرستین در گرم عصاره" گزارش شد.

اندازه‌گیری شاخص رنگی

برای ارزیابی رنگ‌های خوراکی عمدتاً از سیستم **CIELab** استفاده شد که طی آن سه شاخص روشنایی/تاریکی (L^*)، قرمزی/سبزی (a^*) و زردی/آبی (b^*) اندازه‌گیری شدند. این شاخص‌ها با استفاده از دستگاه هانتربل (**HunterLab Colorflex**، C04-1005-631، تایوان) صورت پذیرفت (**Saberian et al., 2013**). تغییرات کلی رنگ (ΔE) نمونه‌ها با استفاده از معادله ۲ بر حسب پارامترهای رنگی L^* ، a^* و b^* محاسبه شد:

$$\Delta E = \sqrt{(L_0^* - L_i^*)^2 + (a_0^* - a_i^*)^2 + (b_0^* - b_i^*)^2} \quad (2)$$

در این فرمول L_0^* ، a_0^* و b_0^* مقادیر اولیه پارامترهای رنگی و L_i^* ، a_i^* و b_i^* مقادیر پارامترهای رنگی نمونه‌ها پس از تیمار حرارتی می‌باشند (**Jafari et al., 2016**).

آزمون پایداری حرارتی و بررسی کینتیک تخریب آنتوسیانین

نوشیدنی مدل (بافر اسید سیتریک ۲۰ میلی مولار در pH برابر با ۳) حاوی ۰/۱٪ کلرید کلسیم و عصاره آنتوسیانینی تهیه شد. نوشیدنی‌های مدل تهیه شده در دمای ۹۰ درجه سانتی‌گراد برای مدت صفر، ۱۵، ۳۰، ۴۵، ۶۰، ۹۰ و ۱۲۰ دقیقه حرارت داده شدند و سپس تا دمای محیط سرد شدند. زمان نیمه عمر آنتوسیانین محاسبه شد و تیمارهای ذکر شده برای بررسی تاثیر پایداری، در آن زمان مورد بررسی قرار گرفتند (**Chung et al., 2015**; **Chung et al., 2016**). زمان نیمه عمر ($T_{1/2}$) براساس غلظت آنتوسیانین از معادله زیر محاسبه شد:

$$\frac{C}{C_0} = \exp(-Kt) \quad (3)$$

که در این فرمول C غلظت رنگدانه‌ها در زمان t (حرارت‌دهی در دماهای مختلف)، C_0 نشانگر غلظت رنگدانه‌های اولیه می‌باشد. K (روز^{-۱}) ثابت سرعت واکنش است (**Fan et al., 2019**).

$$T_{1/2} = \frac{-\ln 0.5}{K} \quad (4)$$

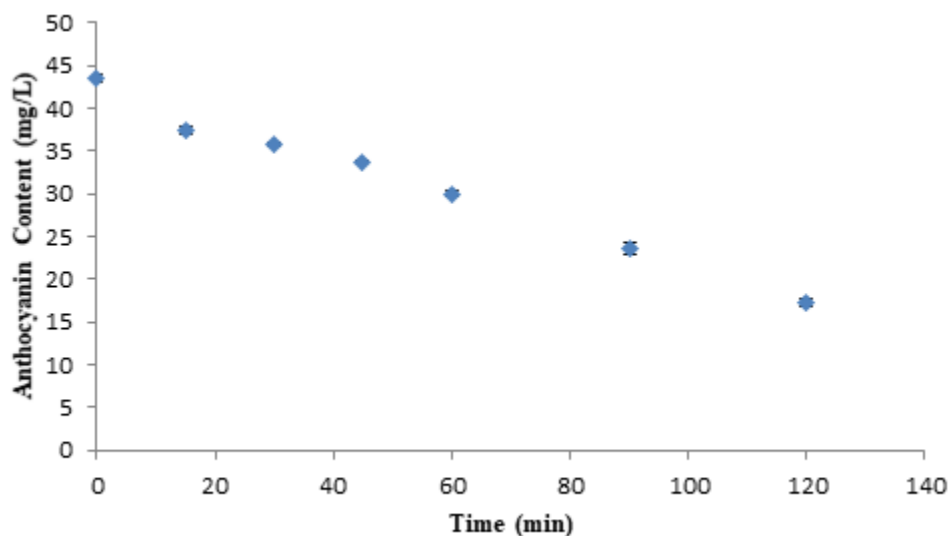
تجزیه و تحلیل آماری داده‌ها

برای بررسی تاثیر آلفا/بتا سیکلودکسترین بر پایداری آنتوسیانین‌ها از طرح فاکتوریل استفاده شد. برای مقایسه تاثیر کوپیگمان‌های مختلف بر پایداری آنتوسیانین در نوشیدنی مدل نیز از طرح یک فاکتور در یک زمان استفاده شد. آزمایش‌ها به طور عمده در حداقل دو تکرار انجام شدند و سپس میانگین و انحراف معیار داده‌ها به دست آمد. جهت مطالعه وجود اختلاف آماری معنی‌دار بین تیمارهای مختلف، از آنالیز واریانس (ANOVA) و آزمون توکی استفاده شد. در تمام مراحل، تجزیه و تحلیل آماری داده‌ها با استفاده از نرم‌افزار **Minitab 17** صورت پذیرفت. همچنین، زمان نیمه عمر تخریب آنتوسیانین‌ها با استفاده از نرم‌افزار **Matlab 16** تعیین شد.

نتایج و بحث

پایداری حرارتی نوشیدنی مدل حاوی عصاره آنتوسیانینی همانطور که در شکل ۱ مشاهده می‌شود، با افزایش زمان حرارت‌دهی، میزان آنتوسیانین به شدت کاهش یافت ($p < 0.05$).

شاخص قرمزی به‌طور معنی‌داری ($p < 0.05$) کاهش یافت (داده‌ها ذکر نشده‌اند) که همبستگی خوبی با میزان آنتوسیانین دارد و نشان‌دهنده تخریب آنتوسیانین می‌باشد.



شکل ۱- پایداری حرارتی آنتوسیانین در نوشیدنی مدل
Fig. 1. Heat stability in the model drink

شاخص قرمزی نوشیدنی‌های مدل حاوی نسبت‌های مولی مختلف آلفا و بتاسیکلودکسترین قبل و بعد از تیمار حرارتی مورد بررسی قرار گرفت. علت بررسی شاخص قرمزی نوشیدنی‌ها قبل از تیمار حرارتی آن بود که در نسبت‌های مولی بالای بتاسیکلودکسترین، رنگ نوشیدنی کمی تغییر می‌کرد و با بررسی متغیرها در قالب طرح فاکتوریل، تغییر شاخص قرمزی اشتباه‌ها به تیمار حرارتی نسبت داده نمی‌شود. نتایج حاکی از آن بود که تیمار حرارتی، نوع سیکلودکسترین و غلظت آن تاثیر معنی‌داری بر شاخص قرمزی داشتند (جدول ۱). همانطور که در شکل ۴ مشاهده می‌شود، شاخص قرمزی نمونه‌های حاوی بتاسیکلودکسترین به‌طور معنی‌داری بیشتر از نمونه‌های حاوی آلفاسیکلودکسترین بود. همچنین تیمار حرارتی به‌طور قابل ملاحظه‌ای شاخص قرمزی را تحت تاثیر قرار داد و موجب کاهش آن شد که می‌تواند به تخریب آنتوسیانین‌ها طی تیمار حرارتی نسبت داده شود. توانایی مولکول‌های حلقوی برای تشکیل کمپلکس با یک مولکول مهمان وابسته به دو عامل ممانعت فضایی و برهمکنش‌های ترمودینامیکی بین ترکیبات مختلف سیستم (سیکلودکسترین، مولکول مهمان و حلال) می‌باشد. چندین نیرو از قبیل نیروهای واندروالسی (برهمکنش‌های هیدروفوبی و دی-پل-دی-پل) و برهمکنش‌های پیوند هیدروژنی در واکنش بین حفره سیکلودکسترین و مولکول مهمان نقش

براساس شکل ۱ و همچنین با استفاده از مدل درجه یک در نرم‌افزار Matlab مشخص شد که زمان نیمه عمر تخریب آنتوسیانین ۱۰۰/۸ دقیقه است.

شاخص قرمزی نوشیدنی مدل نیز در زمان‌های مختلف حرارت‌دهی در دمای ۹۰ درجه سانتی‌گراد بررسی شد و با افزایش زمان حرارت‌دهی،

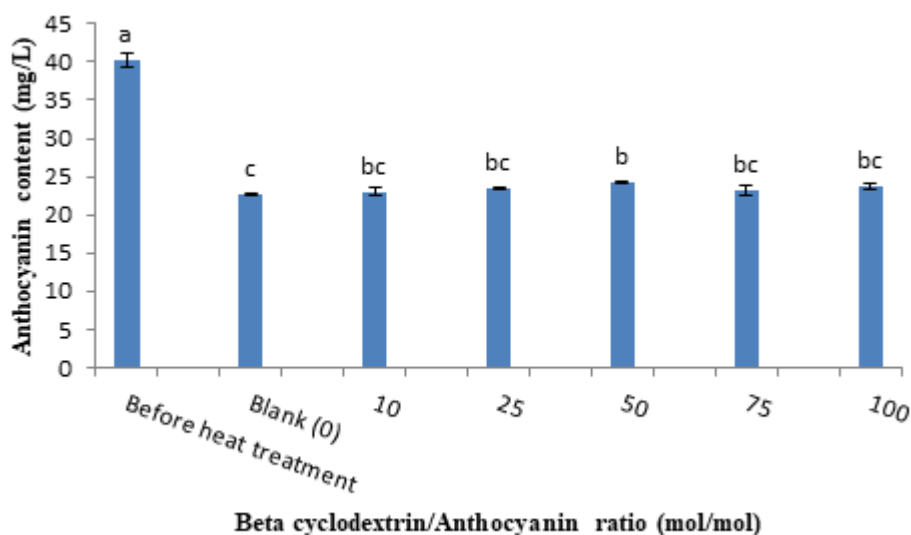
پایداری‌سازی آنتوسیانین‌ها با استفاده از آلفا/بتاسیکلودکسترین

ریزپوشانی آنتوسیانین‌ها با سیکلودکسترین‌ها فرآیند مطلوبی جهت کاهش تخریب آن‌ها در برابر شرایط محیطی (از قبیل نور و دما و pH و غیره) می‌باشد. آنتوسیانین‌ها قادر هستند با بتاسیکلودکسترین پیوند و تشکیل کمپلکس دهند تا از واکنش‌های هیدراتاسیون و پلی‌مریزاسیون در امان بمانند (Howard et al., 2013). جهت بررسی تاثیر پایداری‌سازی آلفا و بتاسیکلودکسترین بر آنتوسیانین‌ها، نسبت‌های مختلف مولی سیکلودکسترین به آنتوسیانین (بر اساس سیانیدین گلوکوزاید) بررسی شد. این نسبت‌ها شامل ۱۰، ۲۵، ۵۰، ۷۵ و ۱۰۰ مول آلفا/بتاسیکلودکسترین به ازای ۱ مول آنتوسیانین بود.

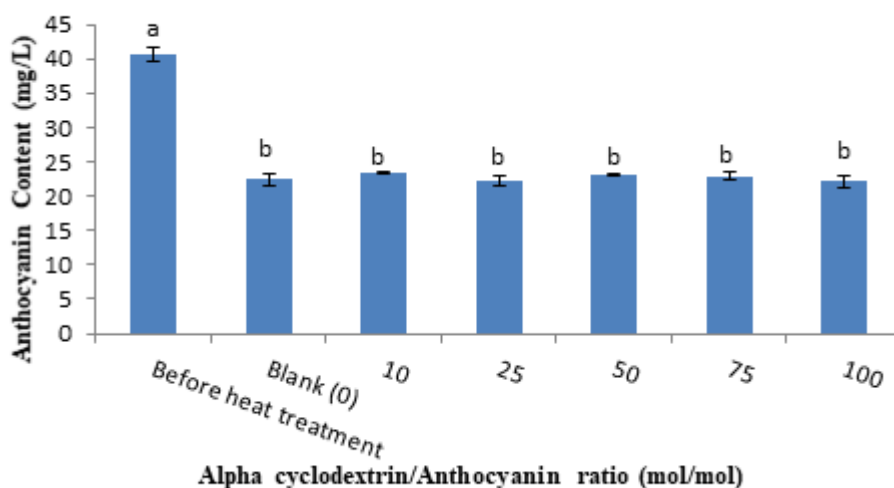
همانطور که در شکل ۲ مشاهده می‌شود، افزودن بتاسیکلودکسترین در نسبت مولی ۵۰ به ۱، موجب افزایش معنی‌داری ($p < 0.05$) در غلظت آنتوسیانین باقی مانده در نوشیدنی مدل (نسبت به نمونه کنترل) پس از تیمار حرارتی (در دمای ۹۰ درجه سانتی‌گراد به مدت ۱۰۰/۸ دقیقه) شد و سایر نسبت‌های مولی تفاوت معنی‌داری با نمونه کنترل نداشتند. با این حال، افزودن آلفاسیکلودکسترین هیچگونه تاثیر معنی‌داری بر پایداری آنتوسیانین در نوشیدنی مدل نداشت (شکل ۳).

که به خاطر کوچک‌تر بودن حفره آلفاسیکلودکسترین نسبت به نوع بتا، احتمالاً برهمکنش‌های زیادی بین حفره آلفاسیکلودکسترین و آنتوسیانین برقرار نشده است و بنابراین پیوندهای ضعیف‌تری برقرار شده است (Howard و همکاران (۲۰۱۳)، Fernandes et al., 2013). مشاهده کردند که افزودن ۳٪ بتاسیکلودکسترین به عصاره Chokeberry در pHهای مختلف ۲/۸ تا ۳/۶ موجب افزایش غلظت آنتوسیانین محلول آزمون به میزان ۴۹٪ نسبت به نمونه کنترل شد.

دارند که قادر به تشکیل کمپلکس پایدار هستند (Bourvellec, 2003). Fernandes و همکاران (۲۰۱۳) که تاثیر نسبت‌های مولی مختلف آلفا و بتاسیکلودکسترین (۴-۵۰ مول) به (یک مول) سیانیدین ۳-گلیکوزید را بررسی می‌کردند مشاهده کردند که افزودن بتاسیکلودکسترین منجر به کاهش رنگ محلول آنتوسیانینی شد و این کاهش رنگ در pHهای بالاتر بیشتر بود. با این حال، با افزودن آلفاسیکلودکسترین، هیچگونه تغییری در رنگ محلول آنتوسیانینی مشاهده نکردند. آن‌ها نتیجه گرفتند



شکل ۲- تاثیر نسبت مولی بتاسیکلودکسترین به آنتوسیانین بر پایداری آنتوسیانین پس از ۱۰۰ دقیقه تیمار حرارتی در ۹۰ درجه سانتی‌گراد
 Fig. 2. The effect of molar ratio of β -cyclodextrin to anthocyanin on the anthocyanin stability after 100 min heat treatment at 90°C

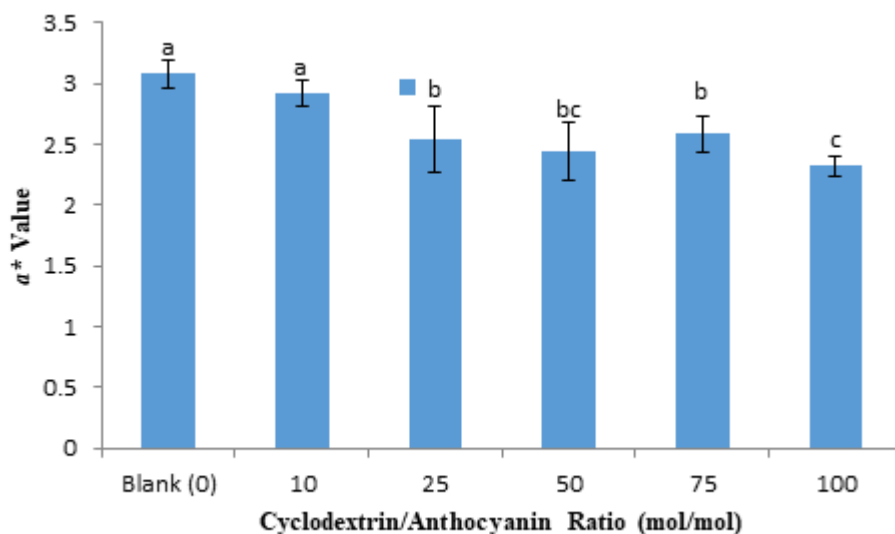


شکل ۳- تاثیر نسبت مولی آلفاسیکلودکسترین به آنتوسیانین بر پایداری آنتوسیانین پس از ۱۰۰ دقیقه تیمار حرارتی در ۹۰ درجه سانتی‌گراد
 Fig. 3. The effect of molar ratio of α -cyclodextrin to anthocyanin on the anthocyanin stability after 100 min heat treatment at 90°C

جدول ۱- تجزیه واریانس اثر سیکلودکسترین ها بر شاخص قرمزی
Table 1- The variance analysis of the effect of cyclodextrins on the a* value

Source	DF	SS	MS	F-Value	P-Value
T1	1	7.9138	7.91375	529.57	0.000
T2	1	2.6744	2.67435	178.96	0.000
T3	5	3.4392	0.68784	46.03	0.000
T1*T2	1	2.6744	2.67435	178.96	0.000
T1*T3	5	7.2338	1.44677	96.81	0.000
T2*T3	5	0.0942	0.01884	1.26	0.313
T1*T2*T3	5	0.0942	0.01884	1.26	0.313
Error	24	0.3586	0.01494		
Total	47	24.4825			

T1: heat treatment (before and after), T2: Cyclodextrin type (α and β), T3: Cyclodextrin/anthocyanin molar ratio (10:1 to 100:1)



شکل ۴- تاثیر نسبت مولی سیکلودکسترین ها به آنتوسیانین بر شاخص قرمزی نوشیدنی مدل پس از ۱۰۰ دقیقه تیمار حرارتی در ۹۰ درجه سانتی گراد

Fig. 4. The effect of molar ratio of cyclodextrins to anthocyanin on the a* value of the model drink after 100 min heat treatment at 90°C

پایداری آنتوسیانین ها با روش کوپیگماتتاسیون

همانطور که در جدول ۲ مشاهده می شود، کوپیگمان های خالص تاثیری بر پایداری سازی آنتوسیانین های نوشیدنی مدل نداشتند به طوری که میزان بقاء آنتوسیانین های نوشیدنی های حاوی کوپیگمان های خالص، مشابه نمونه شاهد بود و تفاوت معنی داری ($p < 0.05$) با آن نداشتند. تنها عصاره نسترن کوهی در هر دو نسبت مولی ۵۰ و ۱۰۰ به ۱ (معادل گالیک اسید) به آنتوسیانین موجب افزایش بقاء آنتوسیانین شد. میزان ترکیبات فنولی کل عصاره نسترن کوهی ۱۴/۵۶ گرم (معادل گالیک اسید) بر لیتر و میزان فلاونوئید کل موجود در آن ۳۶۵ میلی گرم (معادل کوئرستین) بر لیتر به دست آمد. بنابراین، بر اساس نتایج مربوط به میزان ترکیبات فنولی کل و فلاونوئید کل در این پژوهش، این

این اثر متفاوت بتاسیکلودکسترین ممکن است به خاطر این باشد که عصاره Chokeberry دارای ترکیبات فنولی دیگری است که به واکنش با بتاسیکلودکسترین کمک می کند. بنابراین بتاسیکلودکسترین ممکن است در برخی از سیستم های غذایی جهت پایداری آنتوسیانین ها مفید واقع شود (Fernandes et al., 2013; Howard et al., 2013). نتایج این پژوهش نیز حاکی از تاثیر معنی دار بتاسیکلودکسترین (در نسبت مولی ۵۰ قسمت بتاسیکلودکسترین به ۱ قسمت مولی آنتوسیانین) و عدم تاثیر آلفاسیکلودکسترین بر پایداری سازی آنتوسیانین در نوشیدنی مدل بود که می تواند ناشی از بزرگتر بودن مولکول بتاسیکلودکسترین و توانایی آن در احاطه کردن مولکول های آنتوسیانینی باشد (Fernandes et al., 2013).

تحت تاثیر میزان و نوع کوپیگمان قرار گرفت به طوری که با افزودن کوئرستین و روتین، این شاخص به طور معنی داری افزایش پیدا کرد که می تواند ناشی از حلالیت پایین این کوپیگمان ها در نوشیدنی مدل باشد. تغییر رنگ کلی نوشیدنی مدل حاوی عصاره نسترن کوهی نیز به طور معنی داری بیشتر از نمونه شاهد بود که این مورد نیز می تواند ناشی از حضور ترکیبات فنولی نامحلول در آب باشد.

افزایش بقاء آنتوسیانین می تواند به حضور تنوعی از ترکیبات فنولی و فلاونوئیدی موجود در عصاره نسبت داده شود.

شاخص تغییر رنگ کل نشان دهنده تغییر رنگ نوشیدنی مدل حاوی کوپیگمان های مختلف پس از تیمار حرارتی (نسبت به قبل از تیمار حرارتی) می باشد. بنابراین ترجیح بر این است تا تغییر رنگ کل کمتر باشد. همانطور که در شکل ۲ مشاهده می شود، شاخص تغییر رنگ کل

جدول ۲- تاثیر کوپیگمان های مختلف بر شاخص های بقاء آنتوسیانین و تغییر رنگ کل نوشیدنی مدل

Table 2- The effect of different copigments on the anthocyanin retention and total color change (ΔE) of the model drink

Copigman	Molar ratio of copigment/Anthocyanin	Anthocyanin retention (%)	ΔE
Blank	0	51.6 +1.11 ^a	1.37 +0.04 ^d
Galic acid	50:1	51.00 +0.28 ^a	1.68 +0.16 ^d
	100:1	46.26 +0.11 ^a	1.85 + 0.14 ^d
Quercetin	2.5:1	49.92 +0.23 ^a	4.01 +0.23 ^c
	5:1	48.58 +0.5 ^a	4.05 +0.68 ^c
Ferolic acid	50:1	48.46 +0.35 ^a	1.69 +0.11 ^d
	100:1	48.07 +0.69 ^a	1.71 +0.04 ^d
Rutin	10:1	49.20 +0.22 ^a	8.43 +0.37 ^b
	25:1	45.94 +1.88 ^a	13.82 +0.18 ^a
Rosehip extract	50:1	54.31 +0.17 ^b	4.73 +0.07 ^c
	100:1	58.84 +1.59 ^b	3.66 +0.24 ^c

خشک کن پاششی افزایش داد. آن ها بیان کردند که ترکیبات کوپیگمانی می تواند همانند محلول ها، تشکیل کمپلکس دهند و از این طریق از هیدراته شدن رنگدانه ها توسط رطوبت موجود در محیط جلوگیری کنند. از طرف دیگر، به خاطر ویژگی آنتی اکسیدانی، کوپیگمان های افزوده شده می توانند از اکسیداسیون آنتوسیانین ها جلوگیری به عمل آورند (Weber et al., 2017). Fan و همکاران (۲۰۱۸) مشاهده کردند که کوپیگمان ها باعث افزایش شاخص قرمزی، کاهش شاخص روشنایی و تغییر رنگ کل نسبت به نمونه کنترل شدند. نتایج آن ها نشان داد که روتین و فرولیک اسید که بهترین اثرات را بر پایداری رنگدانه داشتند، دارای حجم مولکولی بزرگتر و انرژی واندرووالسی نسبت به سایر اسیدهای فنولی بودند و بنابراین، ساختار کوپیگمان رابطه مهمی با اثر کوپیگمانتاسیونی بر آنتوسیانین دارد (Fan et al., 2019). Chung و همکاران (۲۰۱۶) بیان کردند که با افزودن عصاره چای سبز (به میزان ۰/۲ درصد)، نیمه عمر تخریب رنگ آنتوسیانین از ۲/۹ روز به ۶/۷ روز افزایش یافت که احتمالاً به خاطر برهمکنش های هیدروفوبیک ترکیبات موجود در عصاره چای سبز با آنتوسیانین ها باشد. آن ها نتیجه گرفتند که افزودن کوپیگمان هایی از قبیل وانیلین، ممکن است موجب بهبود پایداری آنتوسیانین ها شود اما بوی وانیل را نیز به نوشیدنی اضافه می کند اما عصاره چای سبز بوی ضعیفی دارد. با این حال عصاره چای سبز دارای رنگ متمایل به زرد است که عمدتاً در ترکیب با آنتوسیانین ها پوشانده می شود. بنابراین تاثیر کوپیگمان ها بر طعم و رنگ، ملاحظاتی

Kanha و همکاران (۲۰۱۹) کوپیگمانتاسیون بین مولکولی سیانیدین ۳- گلیکوزاید با سه ترکیب فنولی بدون رنگ را (کاتکین، اسید فرولیک و دوپامین) در نسبت های مولی ۱:۱، ۱:۱۰ و ۱:۱۰۰ بررسی کردند (Kanha et al., 2019). نتایج آن ها نشان داد که قوی ترین واکنش کوپیگمانتاسیون در نسبت مولی ۱:۱۰۰ کاتکین به دست آمد و اسید فرولیک و دوپامین در مرتبه های بعدی قرار داشتند. آن ها مشاهده کردند که شدت تخریب حرارتی رنگدانه با افزایش دمای حرارت از ۵۰ به ۹۰ درجه سانتی گراد افزایش یافت. علاوه بر این، آن ها کاهش آنتوسیانین عصاره توت فرنگی را در حضور نسبت های مولی مختلف کاتکین (۱۰۰ تا ۱:۱۰۰) پس از پاستوریزاسیون در دمای ۸۰ درجه سانتی گراد به مدت ۱۵ دقیقه بررسی کردند. عصاره کوپیگمان شده در نسبت ۱:۱۰۰ دارای کمترین I* بیشترین C* و کوچکترین زاویه h بود که نشانگر تشدید رنگ عصاره توت فرنگی است. حضور کاتکین در نسبت مولی ۱:۱۰۰، تخریب آنتوسیانین پس از پاستوریزاسیون را از ۲۲/۴۴ درصد (نمونه شاهد) به ۶/۶۷ درصد کاهش داد. Zhao و همکاران (۲۰۲۰) مشاهده کردند که تفاوت های زیادی بین سیستم های مختلف پیگمان کوپیگمان وجود داشت و توانایی ایجاد پیوند با آنتوسیانین ها در کوئرستین بیشتر از اپی کاتکین بود و گالیک اسید در مرتبه سوم قرار داشت (Zhao et al., 2020). Weber و همکاران (۲۰۱۷) مشاهده کردند که حضور کوپیگمان های روتین و اسید فرولیک به طور قابل توجهی پایداری آنتوسیانین ها را طی انبارداری پودر آنتوسیانینی تولید شده با استفاده از

نتیجه گیری

باتوجه به کاربرد عمده آنتوسیانین‌ها در صنایع غذایی از یک طرف و پایداری نسبتاً پایین آن‌ها در مقایسه با رنگ‌های سنتزی، پایداری‌سازی آن‌ها ضرورت دارد. به نظر می‌رسد که مستعدترین منبع آنتوسیانین در ایران، گلبرگ زعفران باشد و بنابراین پایداری‌سازی آنتوسیانین گلبرگ زعفران مورد بررسی قرار گرفت. آلفاسیکلودکسترین تاثیر معنی‌داری بر پایداری‌سازی آنتوسیانین نداشت اما بتاسیکلودکسترین موجب افزایش پایداری رنگدانه شد. اگرچه ترکیبات فنولی خالص تاثیری بر پایداری‌سازی حرارتی آنتوسیانین نداشتند اما عصاره نسترن کوهی به‌طور معنی‌داری موجب افزایش بقاء آنتوسیانین در نوشیدنی مدل شد که می‌تواند ناشی از وجود تنوعی از ترکیبات فنولی و فلاونوئیدی موجود در این عصاره باشد. درنهایت، استفاده از عصاره‌های فنولی گیاهان و سایر ترکیبات از قبیل (سیستئین، اسیدهای آلی و کاتیون‌ها) جهت کوپیگمانتاسیون و پایداری‌سازی عصاره آنتوسیانینی سایر منابع (از قبیل زرشک، کلم قرمز، انگور قرمز) پیشنهاد می‌گردد تا تاثیر آن روشن‌تر گردد.

تشکر و قدردانی

این طرح با حمایت مالی معاونت پژوهش و فناوری جهاد دانشگاهی در قالب طرح با عنوان «پایداری‌سازی حرارتی عصاره آنتوسیانینی گلبرگ زعفران با استفاده از روش‌های کوپیگمانتاسیون و ریزپوشانی و کاربرد آن در مدل غذایی» با کد ۶۰۲۳-۲۰ و همچنین حمایت مالی صندوق حمایت از پژوهشگران و فناوران کشور (INSF) در قالب طرح با عنوان «پایداری‌سازی حرارتی بتالائین چغندر قرمز با استفاده از روش‌های کوپیگمانتاسیون و ریزپوشانی و کاربرد آن در نوشیدنی و کیک» با شماره ۹۷۰۰۹۲۱۲ انجام شده است.

است که باید در انتخاب ترکیبات پلی‌فنولی مورد توجه واقع شود (Chung et al., 2016). همکاران (Kopjar et al., 2014) و همکاران (Kopjar et al., 2014) و همکاران (Mollov et al., 2007) مشاهده کردند که با افزودن عصاره گلبرگ، زمان نیمه عمر آنتوسیانین توت فرنگی از ۱۳۱ روز به ۱۷۳ روز افزایش یافت. همچنین پس از ۴ ساعت حرارت‌دهی، اختلاف رنگ کل در نوشیدنی‌های حاوی عصاره گلبرگ کمتر از نمونه کنترل بود و پایداری رنگ بیشتر بود (Mollov et al., 2007). همکاران (Ertan et al., 2018) مشاهده کردند که اسید گالیک و عصاره پوست انار پایداری بیشتری را برای آنتوسیانین‌ها در نکتار آلبالو به ارمغان آورد اگرچه کمترین کدورت نیز در آغاز نگهداری و در نکتار حاوی عصاره پوست انار مشاهده شد و بنابراین عصاره پوست انار را به‌عنوان بهترین کوپیگمان (بدون توجه به نوع شیرین‌کننده) انتخاب کردند (Ertan et al., 2018).

اگرچه بسیاری از تحقیقات انجام شده حاکی از تاثیر معنی‌دار و مثبت کوپیگمان‌های خالص مختلف بر پایداری آنتوسیانین‌ها بودند اما در تحقیق حاضر چنین نتیجه‌ای حاصل نشد. این امر می‌تواند به دلیل زمان طولانی حرارت‌دهی (۱۰۰/۸ دقیقه) در دمای ۹۰ درجه سانتی‌گراد باشد که معادل زمان نیمه‌عمر آنتوسیانین عصاره گلبرگ زعفران در نوشیدنی مدل بود. علاوه بر این، ماهیت عصاره‌های آنتوسیانینی و ترکیبات مختلف فنولی موجود در آن‌ها نیز می‌تواند تاثیر مهمی بر کوپیگمانتاسیون گذاشته باشد. با این حال، عصاره نسترن کوهی موجب افزایش بقاء آنتوسیانین گردید که می‌تواند به وفور و تنوع ترکیبات فنولی و فلاونوئیدی آن نسبت داده شود. اگرچه به نظر می‌رسد که عامل اصلی کوپیگمانتاسیون در عصاره نسترن کوهی، ترکیبات فنولی باشد اما سایر ترکیبات از قبیل کربوهیدرات‌ها و پروتئین‌ها نیز ممکن است اثرگذار بوده باشند و نیاز به بررسی بیشتری دارد.

منابع

- Asen, S., Stewart, R. N., & Norris, K. H. (1972). Co-pigmentation of anthocyanins in plant tissues and its effect on color. *Phytochemistry*, 11(3), 1139-1144. [https://doi.org/10.1016/S0031-9422\(00\)88467-8](https://doi.org/10.1016/S0031-9422(00)88467-8)
- Bolourian, Sh. (2020). Optimization of the extraction the anthocyanin extract of the saffron petal. Research project, ACECR, Research institute of the Food Science and technology. [In Persian]
- Bourvellec, C. (2003). *Association entre les procyanidols et les polymères pariétaux de pommes: quantification et conséquences* (Doctoral dissertation, Rennes 1).
- Carocho, M., Barreiro, M.F., Morales, P. & Ferreira, I.C. (2014). Adding molecules to food, pros and cons: A review on synthetic and natural food additives. *Comprehensive Review of Food Science and Food Safety*, 13, 377-99. <https://doi.org/10.1111/1541-4337.12065>
- Cavalcanti, R.N., Santos, D.T. & Meireles, M.A.A. (2011). Non-thermal stabilization mechanisms of anthocyanins in model and food systems: an overview. *Food Research International*, 44, 499-509. <https://doi.org/10.1016/j.foodres.2010.12.007>
- Chang, C.C., Yang, M.H., Wen, H.M., & Chern, J.C. (2002). Estimation of total flavonoid content in propolis by two complementary colorimetric methods. *Journal of food drug analysis*, 10(3), 178-182.

7. Chung, C., Rojanasasithara, T., Mutilangi, W. & McClements, D.J. (2015). Enhanced stability of anthocyanins based color in model beverage systems through whey protein isolate complexation. *Food Chemistry*, 76, 761–8. <https://doi.org/10.1016/j.foodres.2015.07.003>
8. Chung, C., Rojanasasithara, T., Mutilangi, W., & McClements, D. J. (2016). Enhancement of colour stability of anthocyanins in model beverages by gum arabic addition. *Food Chemistry*, 201, 14–22. <https://doi.org/10.1016/j.foodchem.2016.01.051>
9. Cortez, R., Luna- Vital, D. A., Margulis, D., & Gonzalez de Mejia, E. (2017). Natural pigments: stabilization methods of anthocyanins for food applications. *Comprehensive Review of Food Science and Food Safety*, 16(1), 180-198. <https://doi.org/10.1111/1541-4337.12244>
10. Einafshar, S. (2018) the production of the colorants and natural antioxidant from the saffron petal waste, *Journal of Saffron*, 1(1), 25-33. [In Persian]
11. Ercisli, S. (2007). Chemical composition of fruits in some rose (*Rosa* spp.) species. *Food Chemistry*, 104(4), 1379-1384. <https://doi.org/10.1016/j.foodchem.2007.01.053>
12. Ertan, K., Türkyılmaz, M., & Özkan, M. (2018). Effect of sweeteners on anthocyanin stability and colour properties of sour cherry and strawberry nectars during storage. *Journal of food Science and Technology*, 55(10), 4346-4355. <https://doi.org/10.1007/s13197-018-3387-4>
13. Fan, L., Wang, Y., Xie, P., Zhang, L., Li, Y., & Zhou, J. (2019). Copigmentation effects of phenolics on color enhancement and stability of blackberry wine residue anthocyanins: Chromaticity, kinetics and structural simulation. *Food chemistry*, 275, 299-308. <https://doi.org/10.1016/j.foodchem.2018.09.103>
14. Fernandes, A., Azevedo, J., Mateus, N. & Freitas, V.D. (2013). Effect of cyclodextrins on the thermodynamic and kinetic properties of cyanidin-3-O-glucoside. *Food Research International*, 51(2), 748–55. <https://doi.org/10.1016/j.foodres.2013.01.037>
15. Ge, J., Yue, P., Chi, J., Liang, J., & Gao, X. (2018). Formation and stability of anthocyanins-loaded nanocomplexes prepared with chitosan hydrochloride and carboxymethyl chitosan. *Food Hydrocolloids*, 74, 23-31. <https://doi.org/10.1016/j.foodhyd.2017.07.029>
16. Howard, L.R, Brownmiller, C., Prior, R.L. & Mauromoustakos, A. (2013). Improved stability of chokeberry juice anthocyanins by β -cyclodextrin addition and refrigeration. *Journal of Agriculture of Food Chemistry*, 61(3), 693–9. <https://doi.org/10.1021/jf3038314>
17. Jafari, S. M., Mahdavi-Khazaei, K., & Hemmati-Kakhki, A. (2016). Microencapsulation of saffron petal anthocyanins with cress seed gum compared with Arabic gum through freeze drying. *Carbohydrate Polymer*, 140, 20-25. <https://doi.org/10.1016/j.carbpol.2015.11.079>
18. Kanha, N., Surawang, S., Pitchakarn, P., Regenstein, J. M., & Laokuldilok, T. (2019). Copigmentation of cyanidin 3-O-glucoside with phenolics: Thermodynamic data and thermal stability. *Food Bioscience*, 30, 100-419. <https://doi.org/10.1016/j.fbio.2019.100419>
19. Khazaei, K.M., Jafari, S.M., Ghorbani, M. & Hemmati Khakki, A. (2014). Application of maltodextrin and gum Arabic in microencapsulation of saffron petal's anthocyanins and evaluating their stability. *Carbohydrate Polymer*, 105, 57-62. <https://doi.org/10.1016/j.carbpol.2014.01.042>
20. Kopjar, M., Bilić, B., & Piližota, V. (2014). Anthocyanins, phenols, and antioxidant activity in blackberry juice with plant extracts addition during heating. *Acta alimentaria*, 43(2), 333-343.
21. Li, X., Xu, J., Tang, X., Liu, Y., Yu, X., Wang, Z. & Liu, W. (2016). Anthocyanins inhibit trastuzumab resistant breast cancer in vitro and in vivo. *Molecular Medicine Report*, 13, 4007–4013.
22. Mazza, G. & Miniati, E. (1993). Anthocyanins in fruits, vegetables, and grains. Boca Raton: CRC Press.
23. Mollov, P., Mihalev, K., Shikov, V., Yoncheva, N., & Karagyozov, V. (2007). Colour stability improvement of strawberry beverage by fortification with polyphenolic copigments naturally occurring in rose petals. *Innovative Food Science Emerging Technology*, 8(3), 318-321. <https://doi.org/10.1016/j.ifset.2007.03.004>
24. Saberian, H. (2018). The comparison of the quality properties of the rosehip powder of some regions of Iran with commercial sample, *Journal of food Science and Technology*, 15 (82), 139-149. [In Persian]
25. Saberian, H. (2020). Production of food supplement of rosehip as a capsule to treat arthritis, ACECR, Research institute of the Food Science and technology. [In Persian]
26. Saberian, H., Hamidi-Esfahani, Z., & Abbasi, S. (2013). Effect of pasteurization and storage on bioactive components of Aloe vera gel. *Nutrition & Food Science*, 43(2), 175-183.
27. Shikov, V., Kammerer, D. R., Mihalev, K., Mollov, P., & Carle, R. (2008). Heat stability of strawberry anthocyanins in model solutions containing natural copigments extracted from rose (*Rosa damascena* Mill.) petals. *Journal of agriculture food Chemistry*, 56(18), 8521-8526. <https://doi.org/10.1021/jf801946g>
28. Sui, X., Dong, X. & Zhou, W. (2014). Combined effect of pH and high temperature on the stability and antioxidant capacity of 2 anthocyanins in aqueous solution. *Food Chemistry*, 163, 163–70. <https://doi.org/10.1016/j.foodchem.2014.04.075>

29. Weber, F., Boch, K., & Schieber, A. (2017). Influence of copigmentation on the stability of spray dried anthocyanins from blackberry. *LWT-Food Science and Technology*, 75, 72-77. <https://doi.org/10.1016/j.lwt.2016.08.042>
30. Zhao, X., Ding, B. W., Qin, J. W., He, F., & Duan, C. Q. (2020). Intermolecular copigmentation between five common 3-O-monoglucosidic anthocyanins and three phenolics in red wine model solutions: The influence of substituent pattern of anthocyanin B ring. *Food chemistry*, 326, 126960. <https://doi.org/10.1016/j.foodchem.2020.126960>